

AUXILIAR SISTEMAS DINÁMICOS

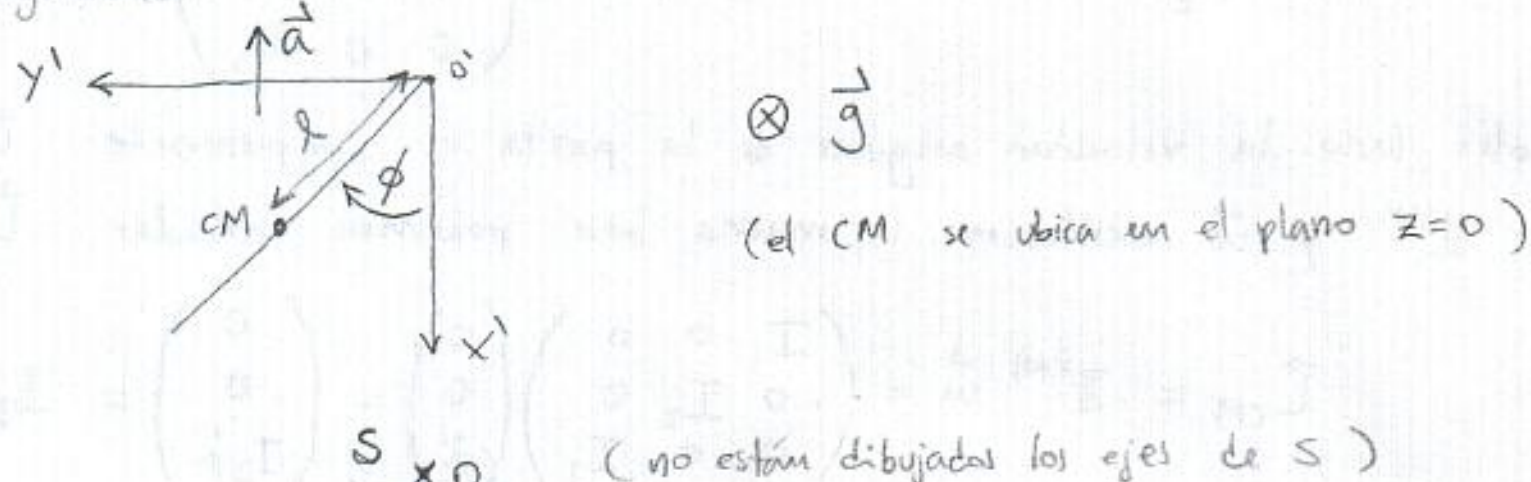
14/08/2K+7

Profesor : Claudio Romero

Auxiliares: Patricio Cubillos, Sebastián Díaz

P1] Un auto con su puerta abierta acelera desde el reposo con aceleración constante \vec{a} . El CM de la puerta se encuentra a distancia l de las bisagras. Si el radio de giro de la puerta es r_0 , calcular la ecuación de movimiento para el ángulo de apertura de la puerta.

Sol.: Notemos primero que si el auto acelera con \vec{a} , también las bisagras de la puerta en cuestión acelerarán con \vec{a} . Así, nos abstraemos del auto y situamos un sistema de referencia S' (obviamente no inercial) en las bisagras. Llamemos S a un sistema de referencia inercial que se ubica sobre la carretera en la que se mueve este auto. Una vista aérea de la situación es la siguiente:



Escribamos la posición del CM yr a S :

$$\vec{r}_{CM} = \vec{o'0'} + \vec{0'CM} = \vec{o'0'} + l\hat{p}$$

$$\begin{aligned} &(\text{derivando } 2 \\ &\text{veces c/c} \\ &\text{al tiempo}) \Rightarrow \vec{a}_{CM} = -a\hat{i}' + -l\dot{\phi}^2\hat{p} + l\ddot{\phi}\hat{q} \quad (\vec{a} = \vec{o'0'} = -a\hat{i}') \\ &\Rightarrow \vec{a}_{CM} = -(a\cos\phi + l\dot{\phi}^2)\hat{p} + (a\sin\phi + l\ddot{\phi})\hat{q} \quad (\hat{i}' = \cos\phi\hat{p} - \sin\phi\hat{q}) \end{aligned}$$

Disponemos de las siguientes ecuaciones de la Mecánica :

$$\sum \vec{F}_{ext} = M_s \vec{a}_{CM} \quad (1)$$

$$\sum \vec{T}_{CM} = \frac{d}{dt} \vec{L}_{CM} \quad (2)$$

En este problema nos "haremos los lejos" y no consideraremos que hay gravedad. Esta simplificación está inspirada en el hecho que la puerta se mantiene en equilibrio verticalmente. El problema P5] de esta auxiliar abordará en detalle el caso en que se considera la gravedad.

Habiendo aclarado esto, la única fuerza externa que actúa sobre la puerta es la debida a la bisagra. Escribamos la ecuación (1) para la puerta que consideramos tiene una masa M_s :

$$\vec{F} = M_s [-(a\cos\phi + l\dot{\phi}^2)\hat{p} + (a\sin\phi + l\ddot{\phi})\hat{q}] \quad (3)$$

fuerza de la bisagra
sobre la puerta

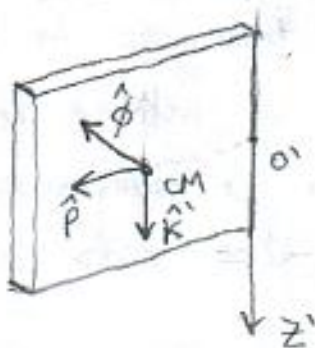
Usemos ahora (2); primero calculemos el torque neta sobre CM:

$$\sum \vec{\tau}_{CM} = (-l\hat{p}) \times \vec{F}$$

este vector va desde el CM a la bisagra que es el punto de aplicación de la fuerza \vec{F} .

$$= -M_s l (\alpha \sin \phi + l \ddot{\phi}) \hat{k} \quad (\text{usando (3)})$$

La puerta la consideramos como un paralelepípedo como lo muestra la figura.



Este poliedro es altamente simétrico y sus ejes de simetría coinciden con la base $(\hat{p}, \hat{\phi}, \hat{k})$ que resultan ser los ejes principales de la puerta. Así, el tensor de inercia \mathbb{I}_r CM de la puerta es diagonal en esta base

$$\mathbb{I}^{CM} = \begin{pmatrix} I_1 & 0 & 0 \\ 0 & I_2 & 0 \\ 0 & 0 & I_3 \end{pmatrix}$$

Por otro lado la velocidad angular de la puerta es simplemente $\vec{\omega} = \dot{\phi} \hat{k}$. Ahora que tenemos \mathbb{I}^{CM} y $\vec{\omega}$ escritos en la misma base podemos calcular \vec{L}_{CM} :

$$\vec{L}_{CM} = \mathbb{I}^{CM} \vec{\omega} = \begin{pmatrix} I_1 & 0 & 0 \\ 0 & I_2 & 0 \\ 0 & 0 & I_3 \end{pmatrix} \begin{pmatrix} 0 \\ 0 \\ \dot{\phi} \end{pmatrix} = \begin{pmatrix} 0 \\ 0 \\ I_3 \dot{\phi} \end{pmatrix} = I_3 \dot{\phi} \hat{k}$$

$$\Rightarrow \frac{d\vec{L}_{CM}}{dt} = I_3 \ddot{\phi} \hat{k} \quad (\text{ya que } I_3 \text{ y } \hat{k} \text{ son constantes en el tiempo})$$

Estamos en condiciones de escribir (2):

$$\sum \vec{\tau}_{CM} = \frac{d\vec{L}_{CM}}{dt} \Rightarrow -M_s l (\alpha \sin \phi + l \ddot{\phi}) \hat{k} = I_3 \ddot{\phi} \hat{k}$$

$$\Rightarrow \ddot{\phi} = \frac{-\alpha}{\left[\left(\frac{I_3}{M_s} \right) \frac{1}{l} + l \right]} \sin \phi$$

Pero el radio de giro por definición es justamente $r_0 = \sqrt{\frac{I_3}{M_s}}$. Finalmente la ecuación buscada es:

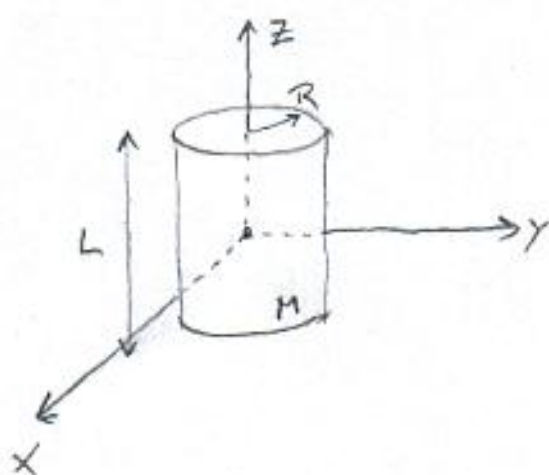
$$\ddot{\phi} = \frac{-\alpha}{\left(\frac{r_0^2}{l} + l \right)} \sin \phi$$

Esta ecuación se integra (con integrales elípticas) para obtener $\phi(t)$. Una forma sencilla de verificar que esta ecuación describe lo que sabemos que ocurre (la puerta se cierra) es considerar que la puerta está abierta en un ángulo $\phi \ll 1 \Rightarrow \sin \phi \approx \phi$, obtenemos así la ecuación del viejo amigo MAS $\ddot{\phi} = -\frac{\alpha}{(\frac{r_0^2}{l} + l)} \phi$ esta ecuación nos dice que la evolución de $\phi(t)$

oscila en torno a $\phi=0$. En el auto, la puerta no oscila porque al llegar a $\phi=0$ se cierra y no se mueve más, pero si lográsemos impedir el cierre, veríamos oscilaciones!!

P3

Calulemos el tensor de inercia de un cilindro macizo de radio R , altura L y masa M .



Colocamos unos ejes cartesianos con origen en el CM del cilindro.

La parametrización de este cuerpo sólido es:

$$\vec{r} = \rho \hat{\rho} + z \hat{z}, \quad \rho \in [0, R], \phi \in [0, 2\pi], z \in [-\frac{L}{2}, \frac{L}{2}]$$

Además el diferencial de volumen en cilíndrica es $\rho d\rho d\phi dz$.

Luego tenemos:

$$\mathbb{I}_{ij}^{(CM)} = \rho_0 \iiint_{-\frac{L}{2}}^{\frac{L}{2}} \iiint_0^{2\pi R} [(\vec{r})^2 \delta_{ij} - x_i x_j] \rho d\rho d\phi dz$$

Hemos supuesto que el cilindro tiene densidad constante $\rho_0 = \frac{M}{\pi R^2 L}$. Además notemos que:

$$\begin{aligned} x_1 &= x = \rho \cos \phi \\ x_2 &= y = \rho \sin \phi \quad ; \quad (\vec{r})^2 = \rho^2 + z^2 \\ x_3 &= z = z \end{aligned}$$

Vamos calculando:

$$\begin{aligned} \mathbb{I}_{11}^{(CM)} &= \rho_0 \iiint_{-\frac{L}{2}}^{\frac{L}{2}} \iiint_0^{2\pi R} [\rho^2 + z^2 - \rho^2 \cos^2 \phi] \rho d\rho d\phi dz \\ &= \rho_0 \left[\iiint_{-\frac{L}{2}}^{\frac{L}{2}} \iiint_0^{2\pi R} \rho^3 \sin^2 \phi d\rho d\phi dz + \iiint_{-\frac{L}{2}}^{\frac{L}{2}} \iiint_0^{2\pi R} z^2 \rho d\rho d\phi dz \right] \\ &= \rho_0 \left[\left(\int_0^R \rho^3 d\rho \right) \left(\int_0^{2\pi} \sin^2 \phi d\phi \right) \left(\int_{-\frac{L}{2}}^{\frac{L}{2}} dz \right) + \left(\int_0^R \rho d\rho \right) \left(\int_0^{2\pi} d\phi \right) \left(\int_{-\frac{L}{2}}^{\frac{L}{2}} z^2 dz \right) \right] \\ &= \rho_0 \left[\frac{R^4}{4} \pi L + \frac{R^2}{2} 2\pi \frac{2}{3} \left(\frac{L}{2} \right)^3 \right] \\ &= \frac{M}{\pi R^2 L} \frac{\pi R^2 L}{4} \left[R^2 + \frac{1}{3} L^2 \right] \\ &= \frac{M}{4} \left[R^2 + \frac{1}{3} L^2 \right] \end{aligned}$$

$$\begin{aligned}\mathbb{I}_{22}^{(CM)} &= \rho_0 \int_{-\frac{L}{2}}^{\frac{L}{2}} \int_0^{2\pi} \int_0^R [\rho^2 + z^2 - \rho^2 \sin^2 \phi] \rho d\rho d\phi dz \\ &= \rho_0 \left[\int_{-\frac{L}{2}}^{\frac{L}{2}} \int_0^{2\pi} \int_0^R \rho^3 \cos^2 \phi d\rho d\phi dz + \int_{-\frac{L}{2}}^{\frac{L}{2}} \int_0^{2\pi} \int_0^R z^2 \rho d\rho d\phi dz \right] \\ &\quad \text{ya que } \int_0^{2\pi} \sin^2 \phi d\phi = \int_0^{2\pi} \cos^2 \phi d\phi = \pi \\ &= \mathbb{I}_{11}^{(CM)}\end{aligned}$$

$$\begin{aligned}\mathbb{I}_{33}^{(CM)} &= \rho_0 \int_{-\frac{L}{2}}^{\frac{L}{2}} \int_0^{2\pi} \int_0^R [\rho^2 + z^2 - z^2] \rho d\rho d\phi dz \\ &= \rho_0 \int_{-\frac{L}{2}}^{\frac{L}{2}} \int_0^{2\pi} \int_0^R \rho^3 d\rho d\phi dz \\ &= \rho_0 \left(\int_{-\frac{L}{2}}^{\frac{L}{2}} dz \right) \left(\int_0^{2\pi} d\phi \right) \left(\int_0^R \rho^3 d\rho \right) \\ &= \frac{M}{\pi R^2 L} L 2\pi \frac{R^4}{4} \\ &= \frac{1}{2} MR^2\end{aligned}$$

$$\begin{aligned}\mathbb{I}_{12}^{(CM)} &= \rho_0 \int_{-\frac{L}{2}}^{\frac{L}{2}} \int_0^{2\pi} \int_0^R -(\rho \cos \phi)(\rho \sin \phi) \rho d\rho d\phi dz \\ &= -\rho_0 \left(\int_{-\frac{L}{2}}^{\frac{L}{2}} dz \right) \left(\int_0^{2\pi} \cancel{\cos \phi \sin \phi d\phi} \right) \left(\int_0^R \rho^3 d\rho \right) \\ &= 0\end{aligned}$$

$$\begin{aligned}\mathbb{I}_{13}^{(CM)} &= \rho_0 \int_{-\frac{L}{2}}^{\frac{L}{2}} \int_0^{2\pi} \int_0^R -(\rho \cos \phi) z \rho d\rho d\phi dz \\ &= -\rho_0 \left(\int_{-\frac{L}{2}}^{\frac{L}{2}} z dz \right) \left(\int_0^{2\pi} \cancel{\cos \phi d\phi} \right) \left(\int_0^R \rho^2 d\rho \right) \\ &= 0\end{aligned}$$

$$\begin{aligned} \mathbb{I}_{23}^{(CM)} &= \rho_0 \int_{-\frac{L}{2}}^{\frac{L}{2}} \int_0^{2\pi} \int_0^R -(\rho \sin \phi) z \rho d\rho d\phi dz \\ &= -\rho_0 \left(\int_{-\frac{L}{2}}^{\frac{L}{2}} z dz \right) \left(\int_0^{2\pi} \sin \phi d\phi \right) \left(\int_0^R \rho^2 d\rho \right) \\ &= 0 \end{aligned}$$

Ocupando el hecho que $\mathbb{I}^{(CM)}$ es simétrico obtenemos:

$$\mathbb{I}^{(CM)} = \begin{pmatrix} \frac{M}{4} (R^2 + \frac{1}{3} L^2) & 0 & 0 \\ 0 & \frac{M}{4} (R^2 + \frac{1}{3} L^2) & 0 \\ 0 & 0 & \frac{1}{2} M R^2 \end{pmatrix}$$

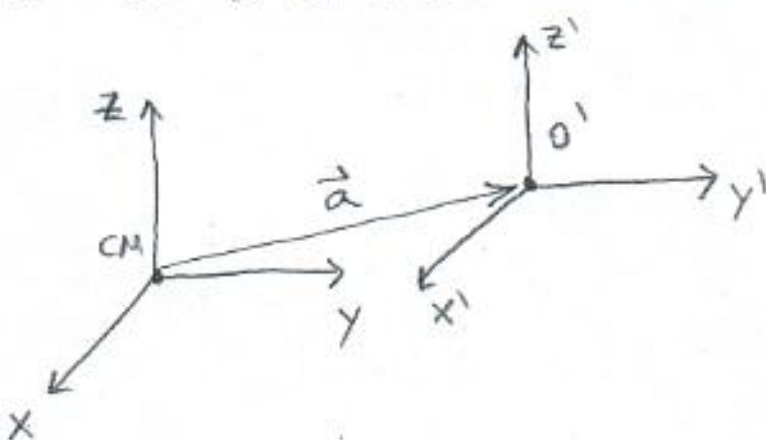
Resultó diagonal, luego los ejes que escogimos resultaron ser ejes principales.

TEOREMA DE STEINER

Nos cuenta que si queremos calcular el tensor de inercia respecto a un sistema de ejes paralelos a los del CM, pero desplazados a un punto O' , debemos ocupar la fórmula:

$$\mathbb{I}_{ij}^{O'} = \mathbb{I}_{ij}^{(CM)} + M [(\vec{a})^2 \delta_{ij} - a_i a_j]$$

Donde \vec{a} es un vector constante que va del CM a O' .



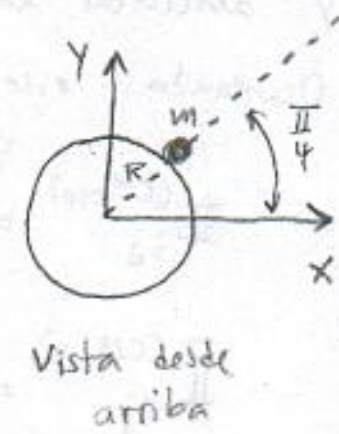
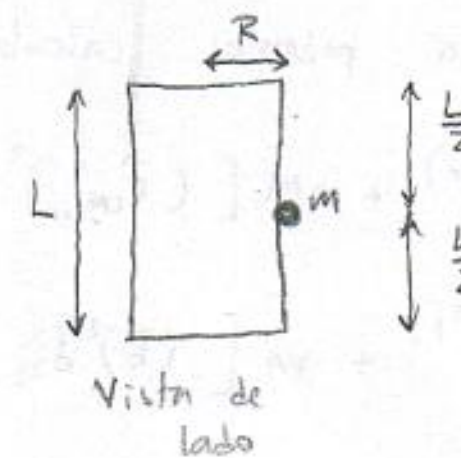
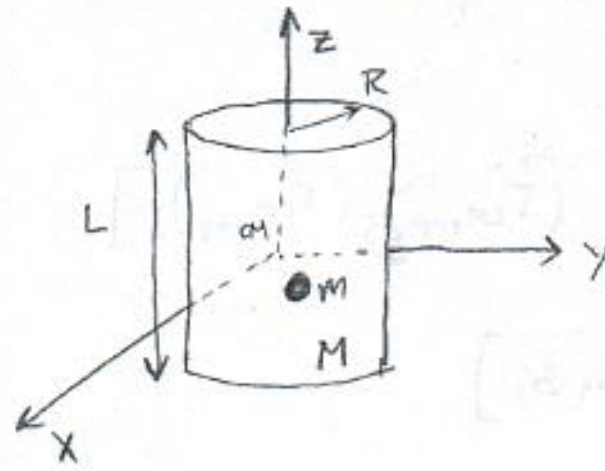
Si inicialmente nuestro $\mathbb{I}^{(CM)}$ era diagonal, al calcular el tensor de inercia en otro origen, pero con los ejes paralelos al del sistema CM, queda diagonal este nuevo tensor??

La respuesta a esta pregunta es directa: el nuevo tensor de inercia queda diagonal sólo si el desplazamiento del origen es a lo largo de los ejes principales (\vec{a} tiene una sola componente).

Veamos un ejemplo: $\vec{a} = a \hat{z}$ (i.e.: $a_1 = a$; $a_2 = 0 = a_3$; $(\vec{a})^2 = a^2$)

$$\Rightarrow M [(\vec{a})^2 \delta_{ij} - a_i a_j] = M \begin{pmatrix} 0 & 0 & 0 \\ 0 & a^2 & 0 \\ 0 & 0 & a^2 \end{pmatrix} \Rightarrow \mathbb{I}^{O'} = \begin{pmatrix} \frac{M}{4} (R^2 + \frac{1}{3} L^2) & 0 & 0 \\ 0 & \frac{M}{4} (R^2 + \frac{1}{3} L^2) + Ma^2 & 0 \\ 0 & 0 & \frac{1}{2} M R^2 + Ma^2 \end{pmatrix}$$

P4 | Consideremos el mismo cilindro del P3), pero con una masa puntual en su centro:



Vámonos con cuidado. En este problema se distinguen 3 cantidades de los 3 cuerpos presentes que resumo en la siguiente tabla de doble entrada:

	Centro de Masa	Vector Posición Centro de Masa	Tensor de Inercia
Cilindro	CM_c	\vec{r}_{CM_c}	$\underline{\underline{I}}$
Partícula	CM_p	\vec{r}_{CM_p}	$\underline{\underline{I}}$
Cilindro + Partícula	CM_{c+p}	$\vec{r}_{CM_{c+p}}$	$\underline{\underline{I}}$

$$\text{Ya sabemos que: } \vec{r}_{CM_c} = \vec{0} \quad \text{y} \quad \vec{r}_{CM_p} = R \cos \frac{\pi}{4} \hat{i} + R \sin \frac{\pi}{4} \hat{j} = \frac{R}{\sqrt{2}} (\hat{i} + \hat{j})$$

Para efectos de cálculo del $\vec{r}_{CM_{c+p}}$ podemos considerar que toda la masa del cilindro se concentra en su centro de masa ($\vec{r}_{CM_c} = \vec{0}$). Así:

$$\vec{r}_{CM_{c+p}} = \frac{M \vec{r}_{CM_c} + m \vec{r}_{CM_p}}{M+m} = \frac{mR}{\sqrt{2}(M+m)} (\hat{i} + \hat{j})$$

Estamos interesados en calcular el tensor de inercia del sistema cilindro + partícula. Nosotros sólo sabemos calcular (con nuestra conocida fórmula) tensores de inercia c/r a un sistema sólido al sólido anclado en el centro de masa del sólido, es por ello que ahora calcularemos $\underline{\underline{I}}^{(CM_{c+p})}$ (es decir, el tensor de inercia del cilindro + partícula c/r al centro de masa del cilindro + partícula)

Hemos aprendido que:

$$\underline{\underline{I}}_{ij}^{(CM_{c+p})} = \underline{\underline{I}}_{ij}^{(CM_c)} + \underline{\underline{I}}_{ij}^{(CM_p)} \quad (1)$$

O sea, el tensor de inercia de un sólido compuesto de 2 partes es igual a la suma de los tensores de inercia de las partes SIEMPRE Y CUANDO TODOS LOS TENSORES ESTÉN ESCRITOS RESPECTO A UN MISMO SISTEMA DE REFERENCIA (mismos ejes y mismo origen!!)

También hemos aprendido el Teorema de Steiner o de los ejes paralelos:

$$\underline{\underline{I}}^{(0)} = \underline{\underline{I}}^{(CM)} + M [(\vec{a})^2 \delta_{ij} - a_i a_j]$$

Este teorema nos permite calcular el tensor de inercia de un sólido de masa M respecto a un sistema de referencia con origen en O con los ejes paralelos al sistema solidario al sólido

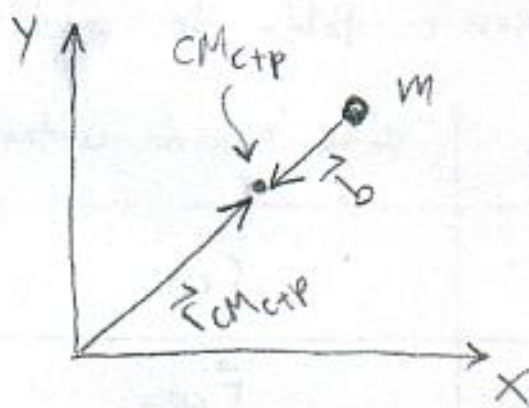
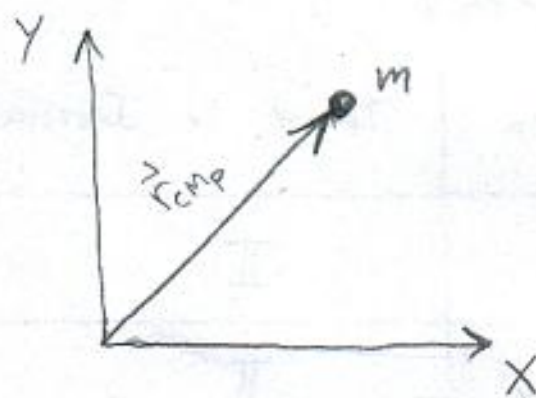
y anclado en el CM, siendo \vec{a} un vector que va de CM hacia O.

Ocupando este teorema podemos calcular:

$$\tilde{\mathbb{I}}_{ij}^{(CM_{Ctp})} = \tilde{\mathbb{I}}_{ij}^{(CM_c)} + M [(\vec{r}_{CM_{Ctp}})^2 \delta_{ij} - (\vec{r}_{CM_{Ctp}})_i (\vec{r}_{CM_{Ctp}})_j] \quad (2)$$

$$\tilde{\mathbb{I}}_{ij}^{(CM_{Ctp})} = \tilde{\mathbb{I}}_{ij}^{(CM_p)} + m [(\vec{b})^2 \delta_{ij} - b_i b_j] \quad (3)$$

El siguiente dibujo aclara la situación de los vectores:



$$\begin{aligned} \vec{b} &= \vec{r}_{CM_{Ctp}} - \vec{r}_{CM_p} \\ &= \frac{m}{M+m} \vec{r}_{CM_p} - \vec{r}_{CM_p} \\ &= -\frac{M}{M+m} \vec{r}_{CM_p} \\ &= -\frac{MR}{\sqrt{2}(M+m)} (\hat{i} + \hat{j}) \end{aligned}$$

Llamemos:

$$\left. \begin{aligned} A_{ij} &= M [(\vec{r}_{CM_{Ctp}})^2 \delta_{ij} - (\vec{r}_{CM_{Ctp}})_i (\vec{r}_{CM_{Ctp}})_j] \\ B_{ij} &= m [(\vec{b})^2 \delta_{ij} - b_i b_j] \end{aligned} \right\} (4)$$

Además es claro que $\tilde{\mathbb{I}}_{ij}^{(CM_p)} = 0$, i.e., el tensor de inercia de la partícula (masa puntual) con respecto a su propio centro de masa (o sea en la posición donde está esta partícula) es nulo. Dele unas vueltas en su cabeza y también traten de demostrarlo usando la definición del tensor de inercia para el caso discreto.

Ahora estamos listos, reemplazando (2) y (3), considerando las definiciones (4), en (1):

$$\tilde{\mathbb{I}}_{ij}^{(CM_{Ctp})} = \tilde{\mathbb{I}}_{ij}^{(CM_c)} + A_{ij} + B_{ij}$$

El tensor $\tilde{\mathbb{I}}_{ij}^{(CM_c)}$ lo calculamos en el P3) y unos pocos pasos y cálculos nos entregan:

$$A = \frac{M}{2} \left(\frac{mR}{M+m} \right)^2 \begin{pmatrix} 1 & -1 & 0 \\ -1 & 1 & 0 \\ 0 & 0 & 2 \end{pmatrix} ; \quad B = \frac{m}{2} \left(\frac{MR}{M+m} \right)^2 \begin{pmatrix} 1 & -1 & 0 \\ -1 & 1 & 0 \\ 0 & 0 & 2 \end{pmatrix}$$

$$\Rightarrow \tilde{\mathbb{I}}_{ij}^{(CM_{Ctp})} = \begin{pmatrix} a & b & 0 \\ b & a & 0 \\ 0 & 0 & c \end{pmatrix}, \text{ con}$$

$$a = \frac{M}{4} \left(R^2 + \frac{1}{3} L^2 \right) + \left(\frac{R^2}{2} \right) \frac{M^2+m^2}{M+m}$$

$$b = -\left(\frac{R^2}{2} \right) \frac{M^2+m^2}{M+m}$$

$$c = \frac{1}{2} MR^2 + R^2 \frac{M^2+m^2}{M+m}$$

Vemos que $\tilde{\mathbb{II}}^{(CM_{CIP})}$ no es diagonal, diagonalicemoslo!! Esto equivale a diagonalizar la matriz:

$$\tilde{\mathbb{II}} = \begin{pmatrix} a & b & 0 \\ b & a & 0 \\ 0 & 0 & c \end{pmatrix}$$

Encontramos primero los valores propios de $\tilde{\mathbb{II}}$; éstos corresponden a las raíces del polinomio característico de $\tilde{\mathbb{II}}$.

$$\det(\tilde{\mathbb{II}} - \lambda \mathbb{I}) = 0 \Leftrightarrow [(a-\lambda)^2 - b^2](c-\lambda) = 0$$

matriz identidad

$$\Leftrightarrow \begin{cases} \lambda_1 = a+b \\ \lambda_2 = a-b \\ \lambda_3 = c \end{cases}$$

Calculemos ahora los vectores propios. A modo de ejemplo calculemos el asociado a λ_1 :

$$(\tilde{\mathbb{II}} - \lambda_1 \mathbb{I}) \vec{v}_1 = \vec{0} \Leftrightarrow \begin{pmatrix} a-(a+b) & b & 0 \\ b & a-(a+b) & 0 \\ 0 & 0 & c-(a+b) \end{pmatrix} \begin{pmatrix} x \\ y \\ z \end{pmatrix} = \begin{pmatrix} 0 \\ 0 \\ 0 \end{pmatrix}$$

$$\Leftrightarrow \begin{cases} -bx + by = 0 \\ bx - by = 0 \\ [c-(a+b)]z = 0 \end{cases} \Rightarrow x = y = \alpha \\ \Rightarrow z = 0$$

$$\Rightarrow \begin{pmatrix} x \\ y \\ z \end{pmatrix} = \alpha \begin{pmatrix} 1 \\ 1 \\ 0 \end{pmatrix} \Rightarrow \vec{v}_1 = \begin{pmatrix} 1 \\ 1 \\ 0 \end{pmatrix} \xrightarrow{\text{normalizando}} \hat{v}_1 = \frac{1}{\sqrt{2}} \begin{pmatrix} 1 \\ 1 \\ 0 \end{pmatrix}$$

Análogamente se encuentran:

$$\hat{v}_2 = \frac{1}{\sqrt{2}} \begin{pmatrix} -1 \\ 1 \\ 0 \end{pmatrix} ; \quad \hat{v}_3 = \begin{pmatrix} 0 \\ 0 \\ 1 \end{pmatrix}$$

El conjunto $\{\hat{v}_i\}_{i=1}^3$ es orthonormal (son mutuamente ortogonales y norma 1). El hecho que son ortogonales entre sí está garantizado porque corresponden a valores propios distintos de una matriz simétrica.

Definimos $P = [\hat{v}_1 | \hat{v}_2 | \hat{v}_3]$ esta matriz satisface $P P^t = P^t P = \mathbb{I}$,

es decir, es una matriz ortogonal.

En definitiva:

$$\tilde{\mathbb{II}}^{(CM_{CIP})} = P^t \underbrace{\begin{bmatrix} \lambda_1 & & \\ & \lambda_2 & \\ & & \lambda_3 \end{bmatrix}}_{P} P$$

$$P = \begin{pmatrix} \frac{1}{\sqrt{2}} & \frac{-1}{\sqrt{2}} & 0 \\ \frac{1}{\sqrt{2}} & \frac{1}{\sqrt{2}} & 0 \\ 0 & 0 & 1 \end{pmatrix} = \begin{pmatrix} \cos \frac{\pi}{4} & -\sin \frac{\pi}{4} & 0 \\ \sin \frac{\pi}{4} & \cos \frac{\pi}{4} & 0 \\ 0 & 0 & 1 \end{pmatrix}$$

es una matriz de rotación en torno al eje z con ángulo $\frac{\pi}{4}$

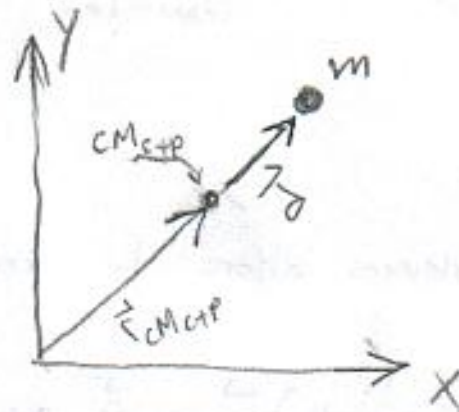
este es el nuevo tensor de inercia $\tilde{\mathbb{II}}$ a un sistema con origen en CM_{CIP} , pero con ejes $\{\hat{v}_i\}_{i=1}^3$

Nota: el $\overline{\mathbb{I}}^{(CM_{CP})}$ que calculamos según (3) también podría haberse calculado como

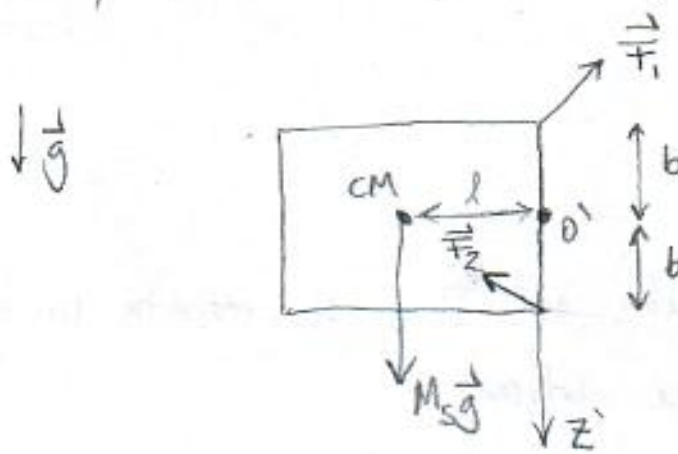
$$\overline{\mathbb{I}}_{ij}^{(CM_{CP})} = m \left[(\vec{d})^2 \delta_{ij} - d_i d_j \right] \quad (*)$$

es decir, ocupando la fórmula para el tensor de inercia en el caso discreto con un sistema con origen en CM_{CP} . Resulta que $\vec{d} = -\vec{b}$ (el definida en (3)) y vemos que (*) es igual a (2):

$$\begin{aligned}\overline{\mathbb{I}}_{ij}^{(CM_{CP})} &= \cancel{\overline{\mathbb{I}}_{ij}^{(CM_P)}} + m \left[(\vec{b})^2 \delta_{ij} - b_i b_j \right] \\ &= m \left[(-\vec{b})^2 \delta_{ij} - (-b_i)(-b_j) \right] \\ &= m \left[(\vec{d})^2 \delta_{ij} - d_i d_j \right]\end{aligned}$$



P5] Lo prometido es deuda. Ahora resolveremos el P1 considerando la gravedad. Una buena figura de la puerta y las fuerzas que actúan sobre ella es la siguiente:



(Estamos suponiendo que el CM se ubica siempre en el plano $z=0$)

Vemos que hay 3 fuerzas externas: el peso que está aplicado sobre el CM de la puerta y dos fuerzas debidas a la bisagra aplicadas en los vértices de la puerta. Un ejemplo cotidiano, para que se convenzan de estas dos fuerzas \vec{F}_1 y \vec{F}_2 es una caja de CD's (estuve jugando con una de estas cajas y me di cuenta de las tres fuerzas aplicadas en los distintos vértices).

Ahora la ecuación de translación del CM queda:

$$\sum \vec{F}_{\text{ext}} = M_s \vec{a}_{\text{cm}} \Rightarrow M_s \vec{g} + \vec{F}_1 + \vec{F}_2 = M_s [-A \hat{p} + B \hat{\phi}] , \text{ con}$$

$$A = (a \cos \phi + l \dot{\phi}^2)$$

$$B = (a \sin \phi + l \ddot{\phi})$$

esto proviene de lo explicado en el P1

$$\boxed{1} \quad F_{1p} + F_{2p} = -M_s A \quad (1)$$

$$\boxed{2} \quad F_{1\phi} + F_{2\phi} = M_s B \quad (2)$$

$$\boxed{3} \quad F_{1z} + F_{2z} = -M_s g \quad (3)$$

La ecuación del torque:

$$\rightarrow \text{al igual que en el } \underline{\text{P1}}, \quad \vec{L}_{\text{cm}} = \vec{I}^{\text{cm}} \vec{\omega} = \begin{pmatrix} I_1 & 0 & 0 \\ 0 & I_2 & 0 \\ 0 & 0 & I_3 \end{pmatrix} \begin{pmatrix} 0 \\ 0 \\ \dot{\phi} \end{pmatrix} = \begin{pmatrix} 0 \\ 0 \\ I_3 \dot{\phi} \end{pmatrix} = I_3 \dot{\phi} \hat{k}$$

$$\Rightarrow \frac{d}{dt} \vec{L}_{\text{cm}} = I_3 \ddot{\phi} \hat{k}$$

\rightarrow el torque neto es diferente ahora:

$$\begin{aligned} \sum \vec{T}_{\text{cm}} &= (-l \hat{p} - b \hat{k}) \times \vec{F}_1 + (-l \hat{p} + b \hat{k}) \times \vec{F}_2 + \vec{o} \times M_s \vec{g} \\ &= (-l \hat{p}) \times (\vec{F}_1 + \vec{F}_2) + (b \hat{k}) \times (\vec{F}_2 - \vec{F}_1) \\ &= (-l \hat{p}) \times [(F_{1p} + F_{2p}) \hat{p} + (F_{1\phi} + F_{2\phi}) \hat{\phi} + (F_{1z} + F_{2z}) \hat{k}] + \\ &\quad (b \hat{k}) \times [(F_{2p} - F_{1p}) \hat{p} + (F_{2\phi} - F_{1\phi}) \hat{\phi} + (F_{2z} - F_{1z}) \hat{k}] \\ &= -M_s l B \hat{k} - M_s g l \hat{\phi} + b(F_{2p} - F_{1p}) \hat{\phi} - b(F_{2\phi} - F_{1\phi}) \hat{p} \quad (\text{se usó (3)}) \end{aligned}$$

Las ecuaciones escalares provenientes de $\sum \vec{T}_{\text{cm}} = \frac{d}{dt} \vec{L}_{\text{cm}}$ resultan ser:

$$\hat{P} \boxed{1} - b(F_{2\phi} - F_{1\phi}) = 0$$

$$\hat{P} \boxed{2} b(F_{2p} - F_{1p}) - M_s g l = 0$$

$$\hat{K} \boxed{3} - M_s l B = I_3 \ddot{\phi}$$

De la ecuación para $\hat{K} \boxed{3}$ y de la definición de B , se rescata la ecuación diferencial para ϕ encontrada en el P1. De $\hat{P} \boxed{1}$ y $\hat{P} \boxed{2}$ se obtiene:

$$F_{2\phi} = F_{1\phi} \quad (4)$$

$$F_{2p} - F_{1p} = M_s g \frac{l}{b} \quad (5)$$

Obtenemos los sistemas de ecuaciones: (2), (4) y (1), (5). Sus soluciones son:

$$\bar{F}_{1p} = -\frac{1}{2} M_s [3A - \frac{9l}{b}]$$

$$\bar{F}_{2p} = \frac{1}{2} M_s [\frac{9l}{b} - A]$$

$$\bar{F}_{1\phi} = \frac{1}{2} M_s B$$

$$\bar{F}_{2\phi} = \frac{1}{2} M_s B$$

y además tenemos (3): $\bar{F}_{1z} + \bar{F}_{2z} = -M_s g$

En definitiva, al considerar la gravedad se tuvo que modelar en forma más precisa las fuerzas ejercidas por la bisagra sobre la puerta. Deseando las mismas ecuaciones que en el P1 ($\sum \vec{F}_{ext} = M_s \vec{a}_{CM}$ y $\sum \vec{T}_{CM} = \frac{d \vec{L}_{CM}}{dt}$) rescatamos la misma ecuación diferencial para ϕ (lo que justifica el que hayamos despreciado la gravedad en el P1), pero además obtuvimos información sobre las fuerzas \vec{F}_1 y \vec{F}_2 . De hecho si conocemos la ecuación para ϕ , podemos utilizarla para tener que $A = A(\phi)$ y $B = B(\phi)$ y finalmente tener

$$F_{ip} = F_{ip}(\phi); \quad F_{i\phi} = F_{i\phi}(\phi), \quad i \in \{1, 2\}$$